# 山地河川の橋梁閉塞判別における時間変 動を考慮した流木指標の有効性

中谷加奈1・安井鴻騎2・正岡直也3

## Effectiveness of Time-Varying Woody Debris Indicators for Bridge Blocking Discrimination in Mountainous Rivers

Kana Hasegawa Nakatani<sup>1</sup>, Hiroki Yasui<sup>2</sup> and Naoya Masaoka<sup>3</sup>

#### Abstract

When bridges are blocked with accumulated woody debris (WD), it causes damage. Recent studies focused on all WD reaching at the bridge without considering the change of concentration or volume in time series. However, it is reported that the WD runoff process including the time-series change affect the bridges blocking. In this study, we conducted channel experiments and applied logistic regression analysis with three indicators considering time-series change. In the single span bridge cases, the accuracy of distinguishing between blocking and non-blocking has improved by considering time-varying indicators and combining multiple indicators. In the two bridge piers cases, some improvement was observed in cases with small clearance heights, but no significant improvement was seen compared to single span condition.

キーワード:流木,山地河川,橋梁閉塞,水路実験,ロジスティック回帰分析 Key words: woody debris, mountainous river, bridge blocking, channel experiment, logistic regression analysis

## 1. はじめに

山間部で土砂災害が発生すると、崩壊部や侵食 部の樹木が土砂とともに山地河川から発生・流下 する。流木は構造物に衝突して直接的に被害を及 ほすだけでなく、橋を閉塞させることで水や土砂 が氾濫し、周辺に被害が拡大する原因になる。近 年の流木による顕著な被害が発生した土砂災害は、2013年の台風26号による伊豆大島の土砂災害<sup>1)</sup>や、2018年の西日本豪雨<sup>2,3)</sup>などが挙げられる。いずれも、山間部から流出した流木により橋が閉塞して、氾濫や堆積被害が拡大した。

流木の検討は多数実施され例えば3-11)。 岡本らは

<sup>1</sup> 京都大学防災研究所

Disaster Prevention Research Institute, Kyoto University  $^2~$ 前 京都大学大学院農学研究科

Former, Graduate School of Agriculture, Kyoto University

<sup>3</sup> 京都大学大学院農学研究科 Graduate School of Agriculture, Kyoto University

流木の沈下過程を考慮した橋梁閉塞<sup>5)</sup>や、流木集積による河道閉塞率や橋にかかる流体力<sup>6)</sup>を実験から検討している。一方、常流の河川を対象とした検討が多く、急勾配の山地河川の射流区間での検討は少ない。山地河川を対象としたものは、流木の投影面積に着目した橋梁閉塞の検討<sup>7)</sup>や、流木形状を考慮した流木捕捉工に関する検討<sup>8)</sup>などがある。筆者らは、ワンスパンの橋<sup>3,4)</sup>や橋脚2本<sup>9)</sup>で水理条件や流木条件による橋の閉塞限界の差や、流木を含む土石流による河道閉塞について<sup>10)</sup>、実験により検討している。

流木に関する既往研究は、流出した全流木や、 閉塞に寄与した流木の本数や濃度、流木量、投影 面積等に着目したもの (例えば3,6-10) が多い。一方、同 じ流木量でも各時刻における流木の流出過程や流 下密度の違いで閉塞・非閉塞が変わることは明ら かで、実験5,11) からも示される。しかし、山地河 川を対象とした流木の時間的変化に着目した橋の 閉塞に関する研究は殆どない。筆者も検討<sup>11)</sup>した が、条件が限られていた。

本研究では、流木の流出過程の時間的変化に着目して、流木密度を反映した投影面積のハイドログラフを映像解析により高時間分解能で測定した。これを元に短期的な流木密度のピーク値やピーク到達前の流木の蓄積状況を示す新たな指標を提案し、これらが時間的変化を考慮しない従来指標と比較して橋梁閉塞の判別に有効であるかどうかを

検証することを目的として, 水路実験やロジス ティック回帰分析を実施した。

## 2. 実験

#### 2.1 実験条件

水路長400 cm, 幅20 cm の直線水路を使用した。 水路外観を図1 (左) に示す。水路床は低粗度の 鉄板である。日本の土砂災害で流木が発生した山 地渓流の橋や水理条件, 既往検討を基に1-4,9), 水 理条件は勾配2度, 流量3.17 L/s, 水深1.4 cm, 平均流速1.13 m/s, フルード数3.05の射流条件で 実験を実施した。

図1中央上、右上に示すアクリル製の橋模型を使用した。橋桁の流路横断方向幅200 mm、縦断方向幅80 mm、厚さ20 mm である。橋脚のないワンスパンと、橋脚2本の橋模型の2種類を用いた。橋脚2本の橋模型は、横断方向に橋脚7 mm、橋脚間や側壁と橋脚間の各スパンは62 mm とした。橋模型は下流端から50 cm の位置に設置した。

図1中央下に示す直径5mmの円柱状の木製丸 棒を流木模型とした。針葉樹を想定し、比重は水 に浸けた状態で0.8とした。

上空から撮影した実験のハイスピード (HS) 映像を解析して、流木が占める面積の推移を機械的に抽出する方法を採用した。予備検討から、既往検討<sup>4,9)</sup>と同様に木製の丸太状の流木模型をそのまま流した撮影動画では、水路床と流木模型の判

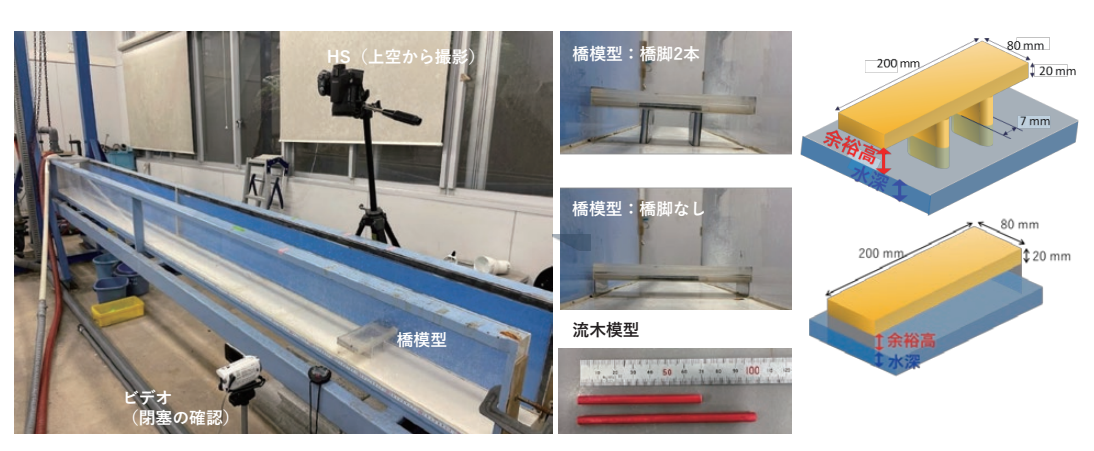


図1 水路外観(左)と橋模型(中央上,右上),流木模型(中央下)

	条件①	条件②	条件③	条件④	条件⑤	条件⑥
流木長	10 cm	7 cm	10 cm	10 cm	7 cm	10 cm
橋の余裕高	2 mm	2 mm	5 mm	20 mm	20 mm	30 mm
橋脚	なし	なし	なし	2本	2本	2本
流木の投入本数	40~80	60~100	60~100	10~50	60~100	30~70

表1 実験条件

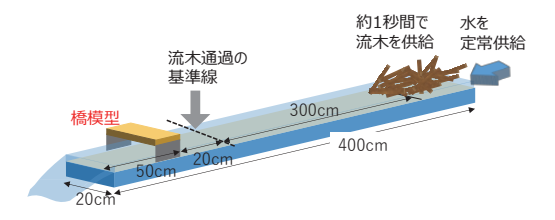


図2 実験概要

別が困難で、抽出が出来なかった。そこで、流木模型を複数色のカラースプレーで染色して、判別に最適と確認した赤色に染色した流木模型を用いて、中谷ら<sup>4,9)</sup>と同様の水理条件、橋模型はワンスパンでは余裕高 2 mm と 5 mm、橋脚 2 本では余裕高 20 mm と 30 mm、流木長は 7 cm、10 cm の 2 種類を用いて実施した。予備実験から、染色による流木模型の比重や直径、摩擦速度に及ぼす影響はないものと判断した。

本研究は、模型水理実験とは異なり相似則に合わせて現地と一対一対応のスケールを目指すものではないが、日本の山地渓流でみられる川幅10m程度(概ね1/50スケール)を想定している。

流木長・橋の余裕高・橋脚本数を変えた6つの 条件で実験を行った。実験条件を表1に示す。同 じ条件では5種類の投入本数(各条件で10本毎に 変化)を設定し、同じ投入本数の試行を10回ずつ 行い、合計50回の試行を行った。予備実験から、 橋脚の有無や流木長によって閉塞しやすい流木本 数や余裕高が異なることから、非閉塞から閉塞が 発生するように、それぞれの条件を設定した。

実験方法の概要を図2に示す。上流端から定常的に水を供給し、上流端より30cm下流の位置から流木模型をまとめて約1秒間で投入した。橋とその上流約30cmまでが映る水路上空の位置にHSカメラ(300fps)を設置し、流木が橋に到達

する状況を記録した。また、橋を真横から撮影できる位置にビデオカメラ (30 fps) を設置し、水位上昇と橋の閉塞の有無を記録した。1回の試行では流木投入から約1分間通水して流木挙動を確認した。

側方からの撮影映像を用いて、流木が橋に集積して流路を閉塞することで起こる水位上昇の発生の有無を観察した。既往検討<sup>4,9)</sup>と同様に流木の残留の有無に関わらず、橋の上流で橋桁上面を超える水位上昇が通水終了時まで継続したものを閉塞とみなした。流木が残留せずとも水位が上昇することで、周辺の氾濫、河床上昇の原因になると考えたためである。

#### 2.2 手法

動画の解析には、Jupyter Lab で作成したプログラムを用いた。橋模型の上流側 $15\sim17.5$  cm、 $15\sim20$  cm、 $15\sim22.5$  cm、 $15\sim25$  cm の 4 種類のエリアで(図 3)、流木を河床面に投影した面積がエリア内に占める割合(以下、流木面積と呼ぶ、単位無し)を色検出プログラムにより算出した。

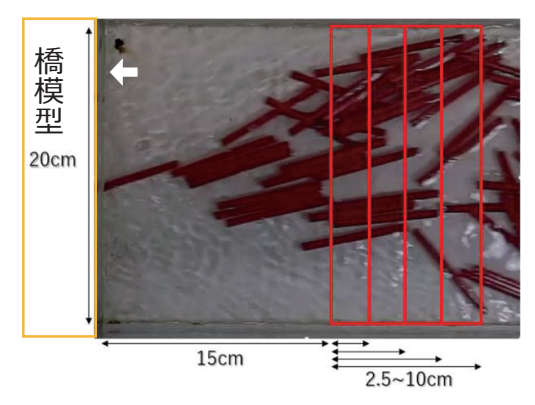


図3 流木が占める面積の算出エリア



図4 平均流木濃度のイメージ (流木通過の基準線)

流木の色の検出では、あらかじめ設定した RGB 値の条件を満たす画素を流木が存在するエリアとした。HS カメラは300 fps だが、1/300秒では流木の移動量が小さく、全フレームで流木面積を算出すると計算時間が膨大になることから、1/150秒ごとの流木面積を算出した。橋の上流側0~15 cm のエリアは、閉塞発生時に逆流した流木が映り込むため、解析に使用しなかった。

算出した面積の推移をもとに、従来指標の時間変化を考慮しない平均流木濃度  $C_{WD}$  (図4) に対して、画像解析を活かして得られた新指標  $A_p$ ,  $A_{BP}/A_T$  を導入して、以下の3種類を閉塞の指標とした。

Apは、短い単位時間当たりの流木濃度の変化や ピーク値が閉塞に寄与するとの発想から、4種類 のエリア  $(15\sim17.5 \text{ cm}, 15\sim20 \text{ cm}, 15\sim22.5 \text{ cm},$ 15~25 cm) における流木面積のピーク値とした。  $A_{RP}/A_{T}$ は、流木濃度がピークを迎える直前に多 くの流木が橋付近に滞留していると閉塞がより発 生しやすいとの発想から、橋模型の上流側15~ 20 cm で、流木面積がピークを迎える前の流木面 積の積算値Annが、全体の流木面積の積算値Ann に占める割合とした。橋上流側15~25 cm のエリ ア内への流木の流入開始時から App ではピーク時 まで、 $A_{\tau}$ では実験終了時までの積分値の合計を、 それぞれの流木面積の積算値とした。なお、流木 面積は重なりを考慮できないため本数と厳密に一 対一の関係ではないが、図3のように流木が重な る面積は本実験の計測範囲内では小さかったこと から、本数の増減を精度よく反映する指標である と仮定した。

平均流木濃度の算出では、流木通過の基準線を 橋模型の上流側20 cm とし、既往研究 $^{4,9}$ で用いら れた単位時間流木量  $Q_{WD}$ 、流木濃度  $C_{WD}$ の計算 式を用いた。

$$Q_{WD} = N \cdot V / (t_l - t_f) \tag{1}$$

$$C_{WD} = Q_{WD} / (Q_{WD} + Q) \tag{2}$$

ここに、 $Q_{WD}$ : 単位時間流木量 (cm³/s)、N: 投入本数、V: 流木 1 本の体積 (cm³/本)、 $t_i$ : 最後尾の流木の到達時刻 (s)、 $t_f$ : 先頭の流木の到達時刻 (s)、Q: 水の供給流量 (cm³/s) である。

## 3. 実験結果

各指標で整理した実験結果を図5~図10に示す。 閉塞を危険側として $\times$ ,閉塞なしを安全側として 〇と表記した。各条件や各指標について,非閉塞, 閉塞のそれぞれの最小値,最大値を $NB_{min}$ , $NB_{Max}$ ,  $B_{min}$ , $B_{Max}$ とする。

条件①は、流木面積のピーク値 $A_p$ で4種類どのエリアを採用しても、 $NB_{min}$ よりも $B_{min}$ の方が大きい。15~17.5 cm、15~20 cm では $NB_{Max}$ よりも $B_{Max}$ の方が僅かに大きく、閉塞の方が非閉塞よりも $A_p$ が大きい。一方、15~22.5 cm、15~25 cm では $NB_{Max}$ の方が $B_{Max}$ より僅かに小さく、 $A_p$ が大きい領域で非閉塞のみが見られる。ピーク前までの流木面積の積算が全期間の積算に占める割合 $A_{BP}/A_T$ や平均流木濃度 $C_{WD}$ は、 $NB_{min}$ よりも $B_{min}$ の方が大きく、 $NB_{Max}$ よりも $B_{Max}$ の方が大きいが、 $C_{WD}$ よりも $A_{BP}/A_T$ の方が閉塞の方が非閉塞より大きい傾向を明瞭に示した。

条件②は、 $A_p$ で4種類どのエリアを採用しても、 $NB_{min}$  よりも  $B_{min}$  の方が大きく、 $NB_{Max}$  よりも  $B_{Max}$  の方が大きく、閉塞の方が非閉塞よりも  $A_p$  が大きい。一方、 $A_{BP}/A_T$  や  $C_{WD}$  は、 $NB_{min}$  よりも  $B_{min}$  の方が大きいが、 $NB_{Max}$  よりも  $B_{Max}$  の方が小さく、それぞれの指標が大きい領域で非閉塞 のみが見られ、特に $A_{BP}/A_T$  で顕著で、閉塞が非 閉塞より大きいとはいえない。

条件③は、 $A_P$ で4種類どのエリアを採用しても、 $NB_{min}$  よりも $B_{min}$  の方が大きく、 $NB_{Max}$  よりも $B_{Max}$  の方が大きく、閉塞の方が非閉塞よりも $A_P$  が大きい。一方、 $A_{BP}/A_T$  や  $C_{WD}$  は、 $NB_{min}$  よりも $B_{min}$  の方が大きく、 $C_{WD}$  は  $NB_{Max}$  よりも $B_{Max}$ 

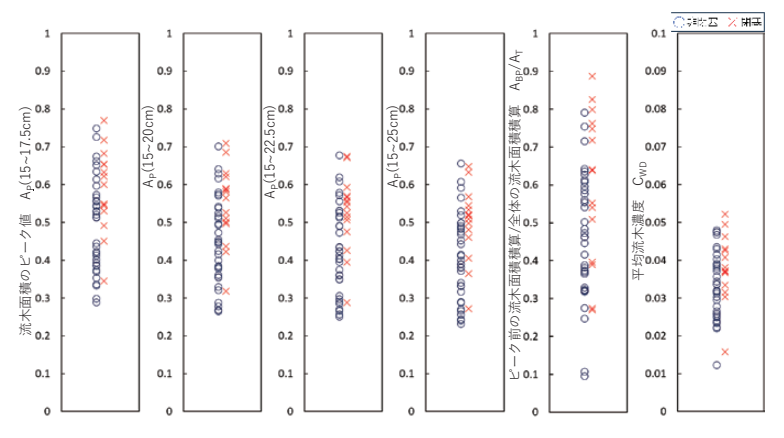


図5 条件①の実験結果(橋脚なし,流木長10cm,余裕高2mm)

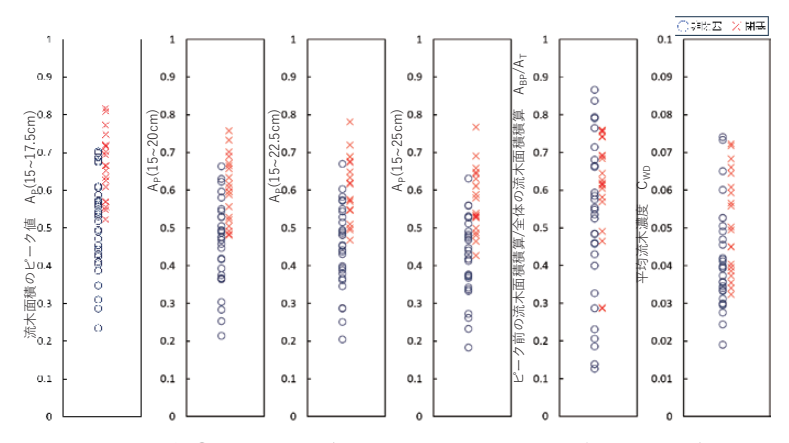


図6 条件②の実験結果(橋脚なし,流木長7cm,余裕高2mm)

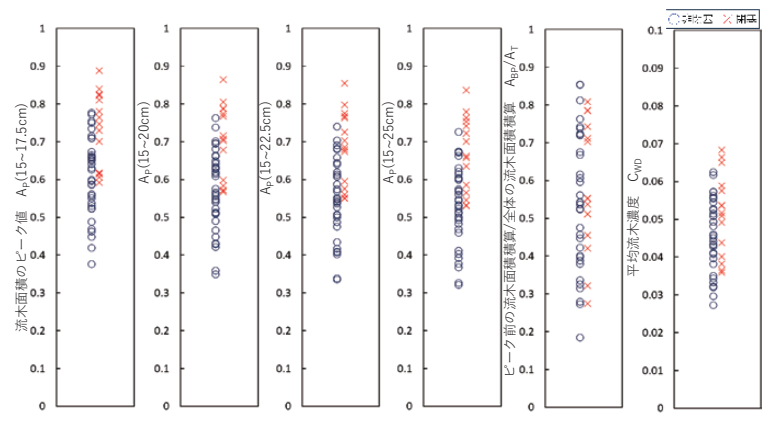


図7 条件③の実験結果(橋脚なし,流木長10cm,余裕高5mm)

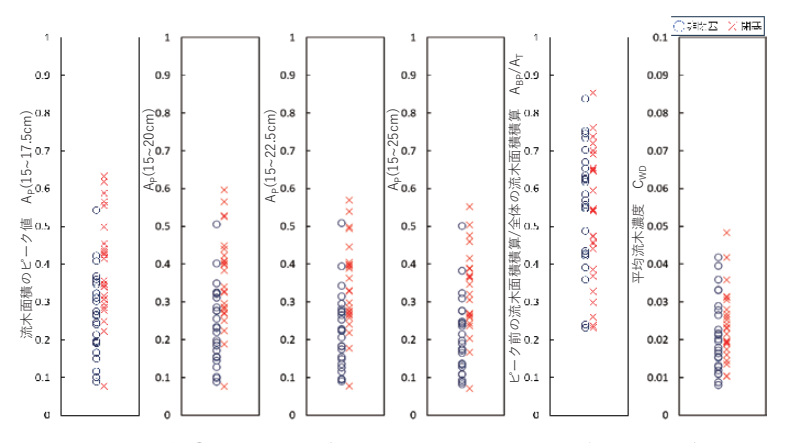


図8 条件④の実験結果(橋脚2本,流木長10cm,余裕高2cm)

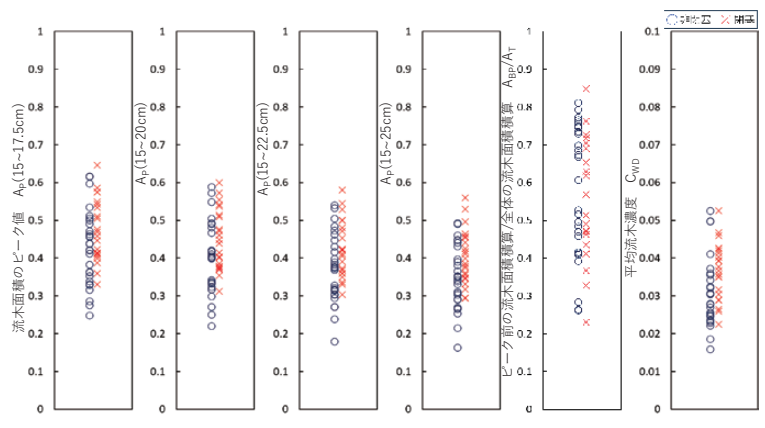


図9 条件⑤の実験結果(橋脚2本,流木長7cm,余裕高2cm)

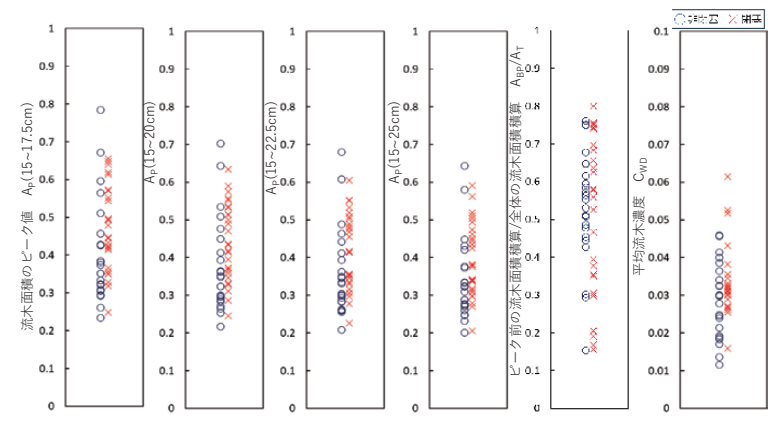


図10 条件⑥の実験結果(橋脚2本,流木長10cm,余裕高3cm)

の方が大きく、閉塞の方が非閉塞よりも大きい。 一方で、 $A_{BP}/A_T$ では  $NB_{Max}$  よりも  $B_{Max}$  の方が小さく、条件②と同様に閉塞が非閉塞より大きいとはいえない。

条件④は、 $A_p$ で4種類どのエリアを採用しても、 $NB_{min}$ よりも $B_{min}$ の方が僅かに小さい。一方、どのエリアでも $NB_{Max}$ よりも $B_{Max}$ の方が大きく、 $A_p$ が大きい領域では閉塞のみの領域が示された。 $A_{BP}/A_T$ は、 $NB_{min}$ と $B_{min}$ がほぼ同値で、 $NB_{Max}$ よりも $B_{Max}$ が僅かに大きいが差は殆どなく、非閉塞と閉塞を判別できない。 $C_{WD}$ は $NB_{min}$ よりも $B_{min}$ の方が大きく、 $NB_{Max}$ より $B_{Max}$ の方が大きく、閉塞の方が非閉塞より大きい傾向は示すが、明瞭ではない。

条件⑤は、 $A_p$ で4種類どのエリアを採用しても、 $NB_{min}$  よりも  $B_{min}$  の方が大きく、 $NB_{Max}$  よりも  $B_{Max}$  の方が僅かに大きい。閉塞の方が非閉塞よりも  $A_p$  が大きく、 $15\sim22.5$  cm、 $15\sim25$  cm でより 明瞭だった。 $A_{BP}/A_T$  は、 $NB_{min}$  より  $B_{min}$  が小さく、 $NB_{Max}$  よりも  $B_{Max}$  が僅かに大きいが差は殆どなく、非閉塞と閉塞を判別できていない。 $C_{WD}$  は、 $NB_{min}$  より  $B_{min}$  が大きいが、 $NB_{Max}$  と  $B_{Max}$  がほぼ 同値で、非閉塞のみの  $C_{WD}$  の小さな領域は示すが、大きな領域での閉塞のみは判別できない。

条件⑥では、 $A_P$ で4種類どのエリアを採用しても、 $NB_{min}$ よりも $B_{min}$ の方が僅かに大きく、 $NB_{Max}$ よりも $B_{Max}$ の方が小さく、閉塞と非閉塞の判別ができない。 $A_{BP}/A_T$ は、 $NB_{min}$ と $B_{min}$ がほぼ同値で、 $NB_{Max}$ よりも $B_{Max}$ が僅かに大きいが差は小さく、非閉塞と閉塞を判別できない。 $C_{WD}$ は、 $NB_{min}$ より  $B_{min}$ が大きく、 $NB_{Max}$ より  $B_{Max}$ が大きく、閉塞の方が非閉塞よりも $C_{WD}$ が大きい傾向を示した。

全条件で、流木面積の取得範囲を広げることで $A_p$ は下がる傾向だった。狭い面積の取得範囲で高いピーク値を示した試行は、面積の取得範囲を広げても比較的高いピーク値を示した。特に $A_p$ による閉塞の判別が示された条件2345では、幅が最大の $15\sim25$  cm や 2 番目に大きな $15\sim22.5$  cm で、低値の領域で非閉塞のみや高値の領域で閉塞のみ等を示し、有効であった。実験観察から、閉塞の契機となる流木流出や流木塊全体を

広範囲の方が、過不足なく抽出出来たためと考え られる。

 $A_p$ で整理した結果を比較すると、 $C_{WD}$ と同様に、流木長が大きいほど、余裕高が小さいほど、小さな $A_p$ で閉塞が起こる傾向が見られた。これは、既往検討 $^{4,9}$ と同様の傾向である。

ピーク前までの流木面積の積算が全期間の積算に占める割合  $A_{BP}/A_T$  で整理した結果を比較すると,橋脚なし余裕高 2 mm で流木長 10 cm の条件①では,低値の領域では非閉塞のみで,数値が上がると閉塞の発生が見られ,高値の領域では閉塞のみを示した。同様の条件で流木長 7 cm の条件②では,低値の領域では非閉塞のみで,数値が上がると閉塞の発生が見られるが,高値の領域でも非閉塞と閉塞が両方発生した。橋脚なし余裕高 3 mm で流木長 10 cm の条件③でも②と同様に,低値の領域では非閉塞のみで,数値が上がると閉塞の発生が見られるが,高値の領域でも非閉塞と閉塞が両方発生した。橋脚 2 本の条件では,非閉塞と閉塞の傾向の違いは見られなかった。

条件② $\sim$ ⑤は、 $C_{WD}$ よりも $A_p$ を用いる方が閉塞と非閉塞の違いが示される傾向があったものの、従来の $C_{WD}$ を指標とした場合と同様に、 $A_p$ や $A_{BP}/A_T$ を指標とした場合でも、同じ数値で閉塞と非閉塞が混在する領域が多く、実験結果だけで閉塞と非閉塞の差を評価することが難しい。次章では、実験結果を基に統計的手法を用いて検討を実施する。

## 4. ロジスティック回帰分析による統計 評価

各指標の値が増加するにともなって閉塞確率が 増加する傾向を定量的に評価するため、ロジス ティック回帰分析12,130を用いる。ロジスティック 回帰分析は目的変数が2値(0または1)である 場合に目的変数が1となる確率を予測する分析手 法である。本研究では、閉塞の有無を目的変数、 各指標を説明変数として閉塞が発生する確率を予 測する。

説明変数に用いる指標が1つの場合,目的変数である確率Pは、説明変数xを用いて式(3)で

表される。eは自然対数、aとbは係数である。

$$P = \frac{1}{1 + e^{-(ax+b)}} \tag{3}$$

説明変数に用いる指標が2つの場合,目的変数である確率Pは,説明変数 $x_1$ ,  $x_2$ を用いて式(4)で表される。eは自然対数, $a_1$ ,  $a_2$ とbは係数である。

$$P = \frac{1}{1 + e^{-(a,x_{+}a,x_{+}b)}} \tag{4}$$

既往検討<sup>3,4,9)</sup>でも、閉塞と非閉塞の混在領域や 推移過程を評価するためにロジスティック回帰分 析を実施したが、平均流木濃度や単位時間流木量 など単一指標を用いた検討に留まった。本論文で は、時間的な流木の流出過程の特徴を新たな指標 を採用し、且つ2つの指標を組み合わせまでを検 討することで、閉塞と非閉塞の境界を明らかにす ることを目指した。

## 4.1 指標1つでのロジスティック回帰分析

指標 1 つでのロジスティック回帰分析の対数尤度を表 2 に示す。対数尤度はロジスティック回帰分析によって求めた閉塞確率の推定式のもっともらしさを表す数値で、数値が大きいほど閉塞・非閉塞の判別性が高い。赤色で塗りつぶしたマスは、各条件の流木面積のピーク値  $A_p$  を指標に用いた解析で対数尤度が最大のものを示す。また、対数尤度が最大の  $A_p$  と  $C_{wp}$  について、尤度比検定の

結果を表2に示した。

なお、 $A_{BP}/A_T$ と $C_{WD}$ では、条件①で僅かに  $A_{BP}/A_T$ の対数尤度が上がったものの、他の条件では $C_{WD}$ の方が大きい。 $A_{BP}/A_T$ と $C_{WD}$ について 尤度比検定を実施した結果、どの条件も優位な差は見られなかった。以降は、 $A_P$ と $C_{WD}$ について述べる。

橋脚なしの条件①~③や、橋脚ありの条件④では、 $A_p$ を指標に用いた時の対数尤度が大きく、平均流木濃度  $C_{WD}$  を指標に用いるよりも判別精度が高かった。一方、条件⑤⑥では、 $A_p$  を指標に用いても、 $C_{WD}$  を用いた時と大きな差はなかった。条件②③や⑤⑥では、橋の上流側15~25 cm の $A_p$  が最も優れていた。条件①④でも、橋の上流側15~25 cm の $A_p$  を指標に用いた時と、最も対数尤度の高かったエリアでの $A_p$  を指標に用いた時では、対数尤度の値に大きな差はなかった。

指標 1 つでは、最大  $A_p$  と  $C_w$  について条件② ③並びに④で p<0.01の有意な差が得られた。条件①は統計的な有意差には至らなかったが、軽微な傾向が示唆された(p=0.0506)。軽微な傾向の①までも含めると、橋脚なしと橋脚 2 本で余裕高が小さく流木長が長い条件では、閉塞の判別精度が上がったことが示された。

各条件で、 $A_P$ による対数尤度が最大のロジスティック回帰分析と、 $C_{WD}$ を指標としたロジスティック回帰分析の結果を図11、図12に示す。

表 2	表2 指標 $1$ つのロジスティック回帰分析の対数尤度 $($ 赤色の網掛けは $,$ 流木面積ヒーク $A_p$ を指標に用いた解析で対数尤度が最大のもの $)$										
	+12-1-11	友 (4)	友性①	12 H	友性①	2140	友 HLC				

指標		条件①	条件②	条件③	条件④	条件⑤	条件⑥
15~17.5 cm 面積ピーク	$A_{P}$	-27.58	-23.26	-23.68	- 28.75	- 32.73	- 32.70
15~20 cm 面積ピーク	$A_{P}$	- 26.87	- 22.93	-23.21	- 28.29	- 32.33	- 32.59
15~22.5 cm 面積ピーク	$A_{P}$	- 26.94	-21.46	- 22.48	-27.95**	- 32.05	- 32.63
15~25 cm 面積ピーク	$A_{P}$	-27.14	-21.44**	-22.18**	-28.10	-31.51	- 32.58
ピーク前面積積算 全体面積積算	$\frac{A_{BP}}{A_{T}}$	- 27.69	-31.92	- 30.30	- 34.43	- 34.03	- 34.29
平均流木濃度	$C_{ m WD}$	-28.78	-30.82	-28.76	-34.19	-31.46	- 32.79

<sup>\*\*</sup>p<0.01

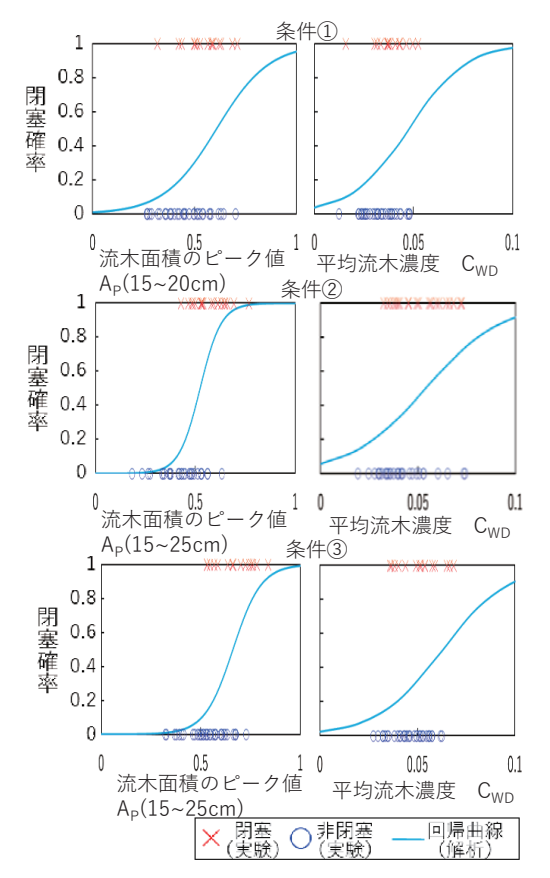


図11 対数尤度が最大の流木面積ピーク値(左) 並びに平均流木濃度を用いた(右)実験 結果とロジスティック解析で得た閉塞確 率の回帰曲線(条件①,②,③)

条件①は $C_{WD}$ を用いた際も対数尤度が大きく、ロジスティック回帰分析でも閉塞試行ほど説明変数の値が高くなる傾向が強い(回帰曲線の傾きが大きい)ため、軽微な傾向は示唆されたものの、 $A_p$ を採用した場合でも閉塞の判別精度に大きな差はない。

条件②③④では、 $C_{WD}$ よりも $A_p$ を指標に用いることで、閉塞した試行ほど説明変数の値が高くなる傾向が強く、閉塞の判別精度が高くなる。

一方,条件⑤⑥では、 $A_P$ を用いても  $C_{WD}$  の結果と閉塞の判別精度に大きな差は見られなかった。  $A_P$  は、橋脚なしでは  $C_{WD}$  よりも閉塞の判別指標として有用だった。橋脚 2 本では、流木長が長く余裕高が小さな条件4 を除くと、 $A_P$  と  $C_{WD}$  の

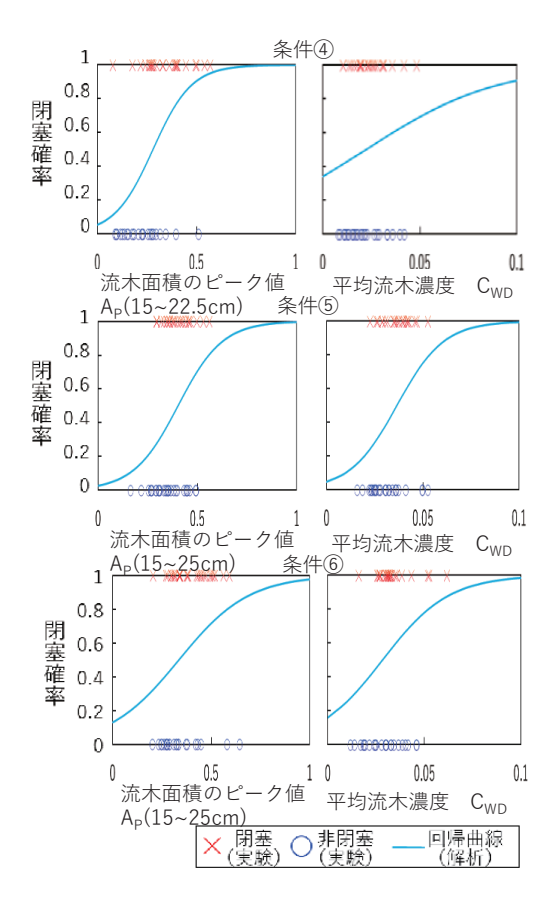


図12 対数尤度が最大の流木面積ピーク値(左) 並びに平均流木濃度を用いた(右)実験 結果とロジスティック解析で得た閉塞確 率の回帰曲線(条件④,⑤,⑥)

判別精度に大きな違いはなかった。流木が密集するだけでなく、橋脚に対する流木塊の位置や流木の角度など、他の要素が閉塞に寄与したことが原因と考えられる。

ワンスパンでは流れ内に阻害物となる橋脚が無く、流木が密集した流木塊となり橋桁に引っかかることで閉塞が起こる。流木の密集が $A_p$ の増加と対応することで閉塞の判別精度が上がる。橋脚2本でも、余裕高が小さい条件4⑤では、閉塞への橋桁の影響があり、ワンスパンと同様に流木の密集も閉塞に寄与したことで $A_p$ の増加と対応して、特に流木長が長い条件4では閉塞の判別精度が上がったと推測される。

一方, ワンスパンと比較して橋脚が2本入った

橋では、流木の密集だけでなく、橋に対してどのような姿勢で流木が到達するかが閉塞に影響する。同量の流木が流れてきた場合、流れに沿った方向が多ければ閉塞し難く、流れに垂直や斜めの方向が多ければ橋脚や側壁、橋桁に跨って閉塞しやすくなる。余裕高が小さく流木長が短い条件⑤では、流木が密集した後に解けて閉塞しないケースが見られた。余裕高が大きく流木長が長い条件⑥では、余裕高が大きいため閉塞の契機となる場所が橋脚

や側壁が主で、④と比較して橋桁は契機になり難い。そのため、 $A_p$ や $C_{WD}$ が閉塞に大きな影響を与えないことが推測される。

#### 4.2 指標2つでのロジスティック回帰分析

複数の指標を用いてロジスティック回帰分析を行った。ロジスティック回帰分析には、 $A_{2P}$ 、 $A_{BP}/A_T$ 、 $C_{WD}$ の3種類の指標から2つを用いた。なお、 $A_{2P}$ は、4種類のエリアのうち、閉塞の判

表3 指標2つのロジスティック回帰分析の対数尤度(赤色の網掛けは,各条件で最大の対数尤度)

指標	条件①	条件②	条件③	条件④	条件⑤	条件⑥
面積ピーク A <sub>2_P</sub>	- 26.87	-21.44	-22.18	- 27.95	-31.51	- 32.58
$\frac{ {\it e}^{-}$ ク前面積積算 $\frac{A_{\rm BP}}{A_{\rm T}}$	- 27.69	-31.92	-30.30	- 34.43	- 34.03	-34.29
平均流木濃度 C <sub>wD</sub>	- 28.78	-30.82	-28.76	-34.19	-31.46	- 32.79
$A_{2_{-P}} \& \frac{A_{_{BP}}}{A_{_{T}}}$	-23.08**	-19.41*	-22.16	- 27.61	-31.36	- 32.39
A <sub>2_P</sub> & C <sub>WD</sub>	- 26.68	-21.28	-22.15	-27.21	-29.19*	- 32.03
$\frac{A_{_{BP}}}{A_{_{T}}} \& C_{_{WD}}$	-24.14	-29.76	-28.73	-34.01	-31.07	- 32.55

<sup>\*</sup>p<0.05, \*\*p<0.01

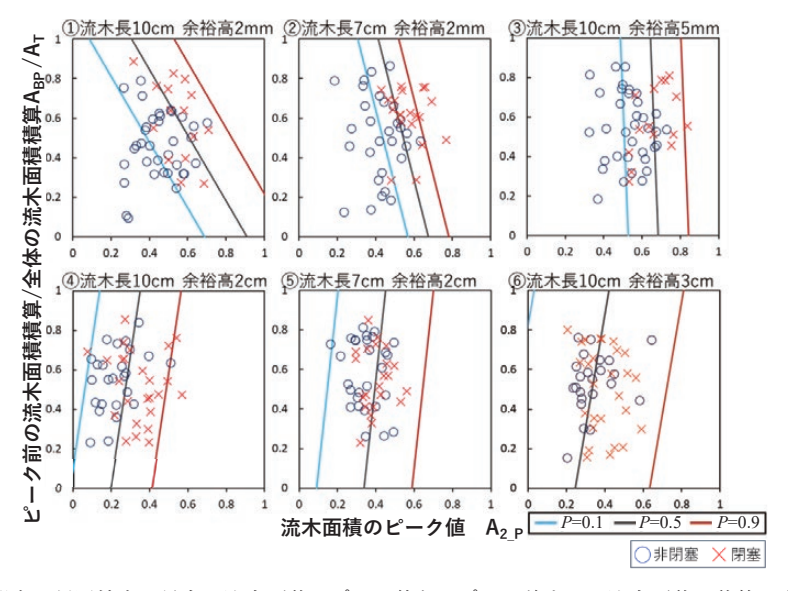


図13 閉塞の判別精度が最大の流木面積のピーク値と、ピーク前までの流木面積の積算が全期間の 積算に占める割合を採用した実験結果およびロジスティック解析で得た閉塞確率の推定直線

別精度が最も高かった流木面積のピーク値である。 指標2つのロジスティック回帰分析の対数尤度 を表3に示す。赤色で塗りつぶしたマスは、各条 件で最大の対数尤度である。図13~図15に指標2 つのロジスティック回帰分析の結果を示す。図中 には閉塞確率 P=0.1, 0.5, 0.9を青線, 黒線, 赤線で示している。また, 対数尤度が 2 指標最大と 1 指標最大について, 尤度比検定の結果を表 3 に示した。

1指標と2指標のそれぞれの最大の対数尤度に

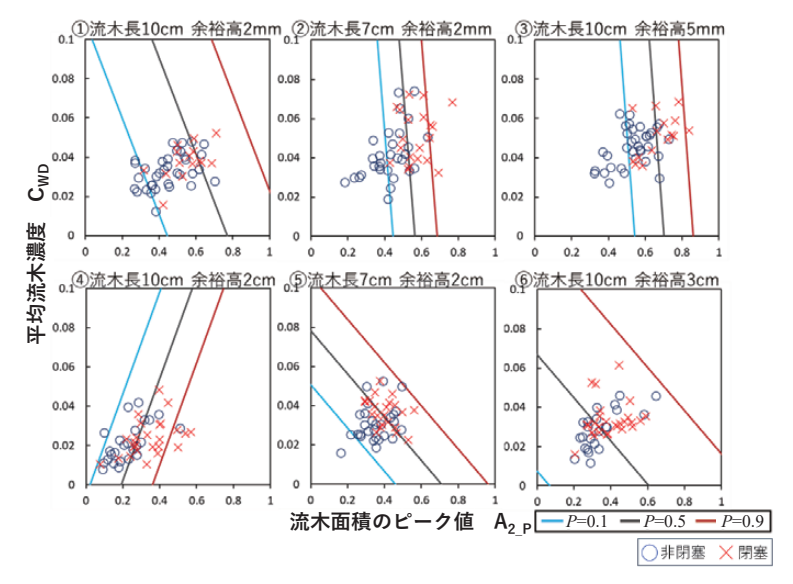


図14 閉塞の判別精度が最大の流木面積のピーク値と、平均流木濃度を採用した実験結果および ロジスティック解析で得た閉塞確率の推定直線

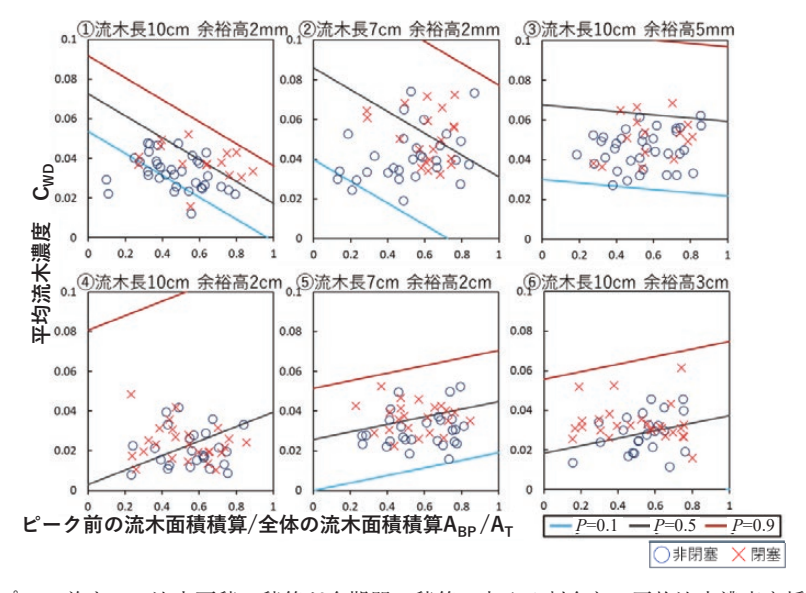


図15 ピーク前までの流木面積の積算が全期間の積算に占める割合と、平均流木濃度を採用した 実験結果およびロジスティック解析で得た閉塞確率の推定直線

ついて,条件①でp<0.01,条件②⑤でp<0.05の 有意な差が得られた。条件①②は橋脚なしで余裕 高が小さく、条件⑤は橋脚2本で余裕高が小さく 流木長が短い条件では、指標2つで対数尤度が上 がり、閉塞の判別精度が上がったことが示された。 橋脚なしの条件①②では、流木面積のピーク値 A。pと、ピーク前までの流木面積の積算が全期間 の積算に占める割合 $A_{RP}/A_{T}$ の2つを組み合わせ ることで、指標が1つよりも閉塞の判別精度が上 がった。これは、面積のピーク値が高く、且つ ピーク前に橋に到達する流木量が多いほど、閉塞 リスクが高くなることを示す。ワンスパンでは流 木が橋桁に接触することを契機に閉塞が起こるが、 **橋脚がないと橋に引っかかった流木塊が不安定な** ため、ピーク後に多くの流木が衝突する場合は短 時間で引っかかりが解消され易いためだと考えら れる。

図13~図15を比較すると、どの図でも各線は右下がりの傾向を示す。図13ではP=0.5の黒線より左下の範囲に非閉塞が多く、右上の範囲に閉塞が多く示されて、閉塞と非閉塞の境界が最も明瞭に示される。

条件②では、指標 1 つでは平均流木濃度  $C_{WD}$  の方が  $A_{BP}/A_T$  よりも対数尤度が大きかったが、指標 2 つでは  $C_{WD}$  よりも  $A_{BP}/A_T$  と  $A_2$  を組み合わせた方が対数尤度が大きく、判別精度が上がった。  $A_{2P}$  と  $C_{WD}$  はどちらも流木がどの程度密集しているかを示すため相関が強く、組み合わせても判別精度が上がらなかったと考えられる。

橋脚なしの条件③は、 $A_{2P}$ と $A_{BP}/A_T$ の2つを組み合わせた場合と、 $A_{2P}$ と $C_{WD}$ を組み合わせた場合で、面積ピークのみを採用する場合と比較して対数尤度は微増したが差は小さい。図13~図15では、条件③の各線は全て右下がりだが、図13、図14では殆ど垂直に近く、横軸の面積ピーク値が閉塞・非閉塞に影響することがわかる。また、P=0.5の黒線より左の範囲に非閉塞が多く、右の範囲に閉塞が多く示されて、閉塞と非閉塞の境界が明らかである。図15では、P=0.5の黒線は水平に近く、黒線の下に閉塞と非閉塞が多数存在することから明確な指標ではない。

橋脚 2本の条件4~⑥では、 $A_{2P}$ と $A_{BP}/A_{T}$ の 2 つを組み合わせても、 $A_{2P}$ のみと比較して対数 尤度に大きな変化はなかった。 $A_{2P}$ と $C_{WD}$ の 2 つを組み合わせる方が、対数尤度が大きい。しかし、 $A_{2P}$ のみを用いた時と比べて、判別精度が上がったのは条件5のみである。 $A_{2P}$ と $C_{WD}$  はどちらも流木がどの程度密集しているかを示すため相関が強いが、 $A_{2P}$ では短期的な流木密度のピーク値が高く、 $C_{WD}$  は基準線を通過する時間全体で流木が多いことを示す。余裕高が小さく流木長が短い条件5では、通過時間全体に流木が多く、ピークも大きい場合に流木塊が生じて、橋桁も契機として閉塞が発生したことで、この 2 指標の組み合わせで精度が上がったと推測される。

図13~図15では、P=0.5の黒線は条件④は全て右上がり、条件⑤⑥は図13、図15で右上がり、図14で右下がりの傾向を示した。黒線の現れ方から、橋脚2本でも条件④と条件⑤⑥では、流木面積のピーク値と平均流木濃度の二つの指標は、閉塞・非閉塞に及ぼす影響が異なることがわかる。

条件④⑤は図13、図14でP=0.5の黒線より左の範囲に非閉塞が多く、右の範囲に閉塞が多く示されて、図15と比較すると閉塞と非閉塞の境界が明らかである。条件⑥は、 $A_{2,P}$ と $A_{BP}/A_T$ を用いた図13でP=0.5の黒線で最も閉塞・非閉塞の境界が示されるが、他条件と比較するとその差は明確ではない。

橋脚 2 本の流木の長い条件4(⑥は、特に⑥は4.1 で検討した単一指標の $A_p$  と  $C_{WD}$  の判別精度にも差はなく、二つを組み合わせても判別精度は向上しなかった。実験観察から、この条件は流木が密集するだけでなく、橋脚に対する流木塊の位置や流木の角度など、他の要素が閉塞に寄与したことが原因と考えられる。

## 5. おわりに

本研究では、流木の流出過程の時間的変化に着目して、橋の閉塞の判別精度向上の有効性を検証することを目指して、水路実験やロジスティック回帰分析を実施した。従来の平均流木濃度に加えて、短期的な流木密度のピーク値を示す流木面積

ピーク値や, ピーク到達前の流木量の蓄積状況を 示すピーク前までの流木面積の積算が全期間の積 算に占める割合を指標に用いて検討した。

指標1つのロジスティック回帰分析では、橋脚なしでは流木面積のピーク値が平均流木濃度よりも閉塞の判別指標として有用だった。一方、橋脚2本では、余裕高が小さく流木長が長い条件では有用だったが、他の条件では流木面積のピーク値と平均流木濃度の判別精度に差はなかった。ピーク前までの流木面積の積算が全期間の積算に占める割合では、全ての条件で平均流木濃度と差はみられなかった。

指標2つを用いたロジスティック回帰分析では、流木面積のピーク値と、ピーク前までの流木面積の積算が全期間の積算に占める割合を組み合わせることで、橋脚なしで余裕高の小さい条件では1指標よりも閉塞の判別精度が上がった。橋脚2本では、余裕高が小さく流木長が短い条件で、流木面積のピーク値と平均流木濃度の組み合わせで、1指標よりも閉塞の判別精度が上がった。その他の余裕高によらず流木長が長い条件では、橋脚なしと比較すると2指標を採用しても判別精度に大きな改善は見られなかった。

山地河川に架かるワンスパンの橋梁における流木閉塞リスクの評価において,流出過程の時間的変化を捉える新たな指標の有効性が示唆される。 具体的には,流木面積のピーク値や,そのピークに至るまでに蓄積された流木面積が全体に占める割合を組み合わせることで,流木閉塞リスクの高い橋梁をより示して,効果的な対策立案に資する可能性が示された。

一方、水路実験で得た知見であることや、流木の形状や橋へ到達する際の流木の衝突角度などの他の要因が影響することも踏まえ、適用には更なる検討が必要である。今後は、橋脚に対する流木塊の位置や流木の角度など、本研究では考慮しなかった閉塞に寄与する要素を合わせて定量的に評価して組み合わせることで、山地河川からの危険な流木や橋についての閉塞条件を抽出することで防災対策に役立てることを目指す。

#### 铭槌

本研究の一部は、JSPS 科研費 23K22848、河川 財団 河川基金の助成を受けたものです。ここに 記して感謝致します。

## 参考文献

- 1)石川芳治・池田暁彦・柏原佳明・牛山素行・林 真一郎・森田耕司・飛岡啓之・小野寺智久・宮 田直樹・西尾陽介・小川洋・鈴木崇・岩佐直 人・青木規・池田武穂:2013年10月16日台風26 号による伊豆大島土砂災害,砂防学会誌,Vol.66, No.5, pp.61-72, 2014.
- 2)海堀正博・長谷川祐治・山下祐一・崎田博史・ 中井真司・桑志保・平松晋也・地頭薗隆・井良 沢道也・清水収・今泉文寿・中谷加奈・柏原佳 明・加藤誠章・鳥田英司・平川泰之・吉永子 規・田中健路・林拙郎:平成30年7月豪雨によ り広島県で発生した土砂災害,砂防学会誌, Vol.71, No.4, pp.49-60, 2018.
- 3) 中谷加奈・長谷川祐治・海堀正博・里深好文: 山地河川の橋梁閉塞に流木の曲がり幹形状が及 ほす影響,自然災害科学,Vol.40,特別号, pp.81-92,2021.
- 4) 中谷加奈・長谷川祐治・里深好文:山地河川を 対象としたワンスパン橋梁への流木閉塞に関す る検討,土木学会論文集 B1 (水工学), Vol.74, No.5, pp.I\_1081-I\_1086, 2018.
- 5) 岡本隆明・染谷智紘・松本知将・山上路生・田中健太:橋梁部での流木沈下過程と全面閉塞の限界条件に関する実験的研究,自然災害科学, Vol.39, No.4, pp.423-437, 2021.
- 6) 岡本隆明・松本知将・田中健太・山上路生:流 木長が橋梁閉塞過程に与える影響に関する実験 的研究,土木学会論文集 B1 (水工学), Vol.78, No.2, pp.I\_583-I\_588, 2022.
- 7) 橋本晴行・楠窪正和・喜多貢菜・ムハマドファリドマリカル:洪水時における河道内障害物による流木群の集積過程における実験的研究,第8回土砂災害に関するシンポジウム論文集,pp.145-149,2016.
- 8) 渋谷一・香月智・大隅久・石川信隆:根付き流 木モデルによる流木捕捉工の捕捉効果に関する 実験的検討,構造工学論文集, Vol.57A, pp.1087-1094, 2011.
- Nakatani, K., Hiura, M., Hasegawa, Y., Kosugi, K., Satofuka, Y.: Experimental study on bridges over

mountainous streams with blocked piers due to debris wood, 自然災害科学, Vol.36, 特別号, pp.15-24, 2017.

- 10) 長谷川祐治・中谷加奈・里深好文・水山高久: 流木を含む土石流による河道閉塞の形成および 決壊に関する実験,砂防学会誌,Vol.69,No.2, pp.19-23,2016.
- 11) 安井鴻騎・中谷加奈・正岡直也・小杉賢一朗・ 里深好文:流木の流出過程が山地河川の橋の閉 塞に及ぼす影響,令和5年度砂防学会研究発表

会概要集, pp.551-552, 2023.

- 12) 光崎研一:分布型のはなし-二項分布-, 獣医科学と統計利用, No.12, pp.34-37, 1984.
- 13) 長沢伸也・中山厚穂: EXCEL ソルバー多変量 解析 - 因果関係分析・予測手法編 - , pp.137-167, 日科技連出版社, 2009.

(投稿受理: 2025年4月4日 訂正稿受理: 2025年7月24日)

## 要 旨

流木の集積により橋が閉塞すると、被害が拡大する場合がある。流木に関する既往検討では、 橋に到達する全ての流木を対象として、時間的変化を考慮しない濃度や量に着目して検討していた。しかし、実際には時間変化を考慮した流木の流出過程が、橋の閉塞に影響することが報告されている。本研究では、水路実験とロジスティック回帰分析を実施して、従来の平均的な流木濃度に加えて、新たな時間変化を考慮した指標を提案して検討した。橋脚なしの条件では、新たな指標や複数指標の組み合わせにより、閉塞の判別精度が向上した。橋脚2本の条件では、余裕高が小さい場合には一部で改善が見られたが、橋脚なしと比較すると判別精度に大きな改善は見られなかった。